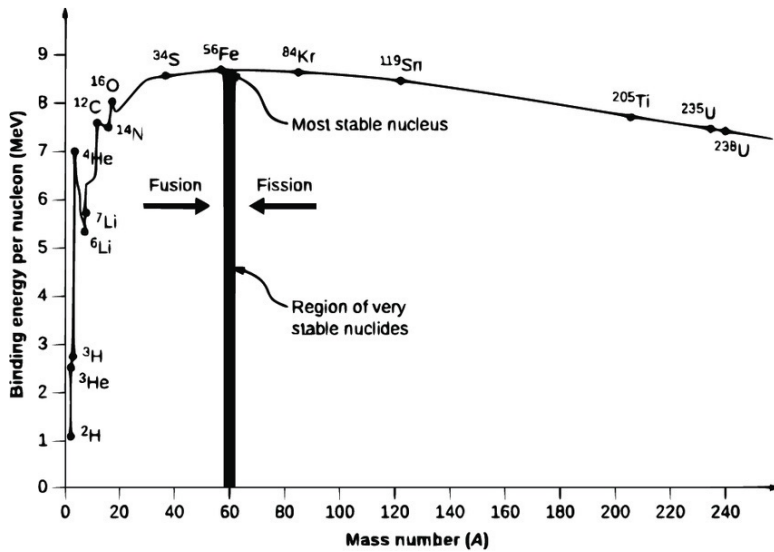


# Forza Nucleare

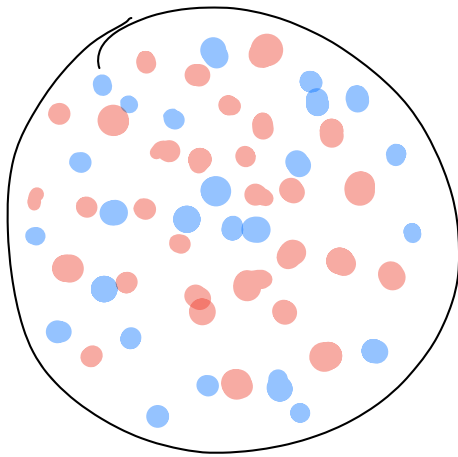
$$m(Z,A) = m_p \cdot Z + m_n(A-Z) - B(Z,A)$$

$$B(Z,A) \geq 0$$

energia di legame nucleare



7.5 → 8.5 MeV/nucleone



Forza nucleare  $r > r_N$ : forza di Coulomb  
 $r = 0$   $r_N = r_0 A^{1/3}$

$r > r_N$ : Coulomb/EM

$r < r_N$ : Forte/nucleare

nucleone: protone/neutrone  
 $S = 1/2$

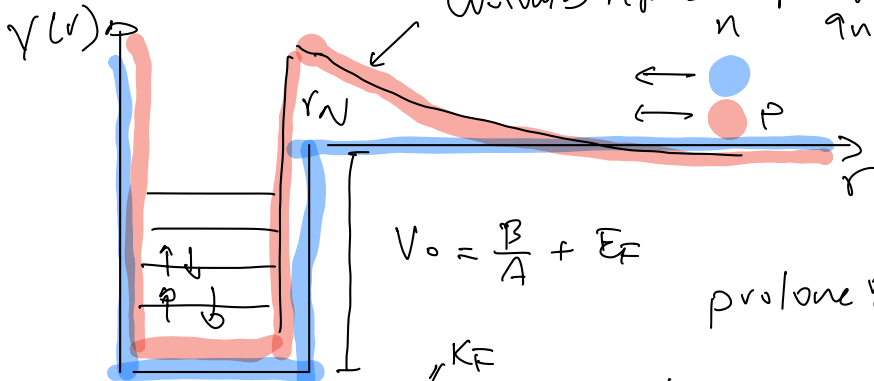
$$R_N \approx r_0 A^{1/3}$$

$$r_0 = 1.1 \text{ fm} = 1.1 \times 10^{-15} \text{ m}$$

All'interno del nucleo ( $r < r_N$ ): gas di Fermi di nucleoni?

Coulomb repulsive per protoni:

$q_n = 0 \Rightarrow$  nessuna Coulomb repulsive



$$V(r) = \begin{cases} \frac{1 \times Z}{r} \propto r > r_N \\ -V_0 & r < r_N \end{cases}$$

$E_F$ : en. cinetica massima per i nucleoni:

$\Downarrow$   
 $P_F$ : impulso di Fermi:

Gas di Fermi nella buca di potenziale

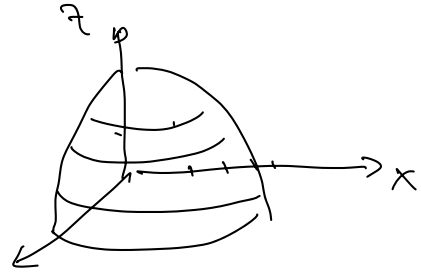
$$E_F = \sqrt{P_F^2 + m_n^2} \approx m_n + \frac{P_F^2}{2m_n} \quad K_F = \frac{P_F^2}{2m_n} \quad m_n \approx 1 \text{ GeV}$$

$$\int_0^{P_F} dn_{\text{neut}} = Z \int_0^{P_F} dn = (A-Z) \quad \text{neutroni:}$$

$$\int_0^{P_F} dn_{\text{protoni}} = Z \int_0^{P_F} dn = Z \quad \text{protoni:}$$

$\downarrow$   $\times 2$  per spin di nucleone

$$dn = \frac{V}{(2\pi)^3} d^3P = \frac{V}{(2\pi)^3} 4\pi P^2 dP$$

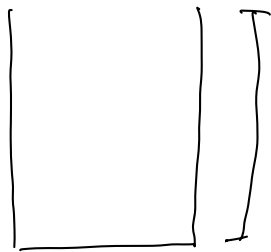


$$P_F = (240 \text{ MeV}) \times \left\{ \begin{array}{ll} \left( \frac{2Z}{A} \right)^{1/3} & \text{protoni:} \\ \left( \frac{2(A-Z)}{A} \right)^{1/3} & \text{neutroni:} \end{array} \right\} \begin{array}{l} \text{mass./impulso} \\ \text{mass. max de:} \\ \text{nucleoni} \end{array}$$

per maggior parte dei nuclei leggeri  $\frac{Z}{A} \approx \frac{1}{2}$

$$P_F \approx 240 \text{ MeV} \ll m_p/m_n. \Rightarrow K_F = \frac{P_F^2}{2m_n}$$

$K_F \approx 20 \text{ MeV} \ll m_{n,p}$  : En. cinetica massima dei nucleoni nella buca di potenziale.



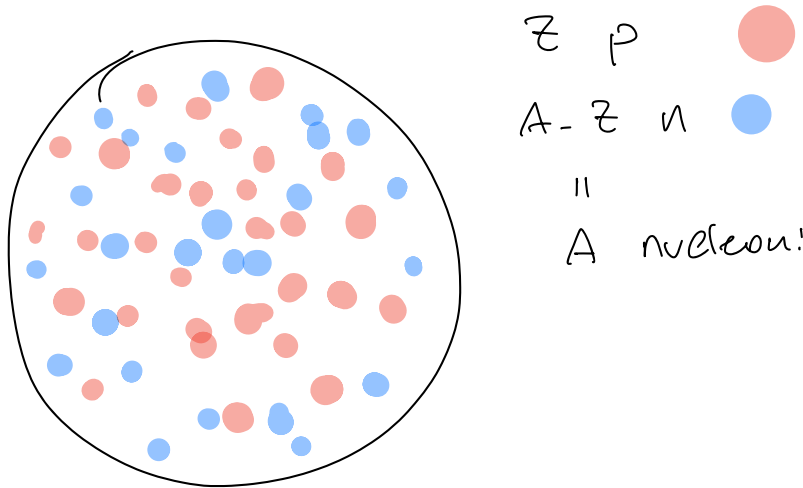
$$V_0 \approx K_F + \frac{B}{A} \approx 20 + 10 \text{ MeV} = 30 \text{ MeV} \quad \updownarrow \quad 40 \text{ MeV}$$

En. Cinetica media

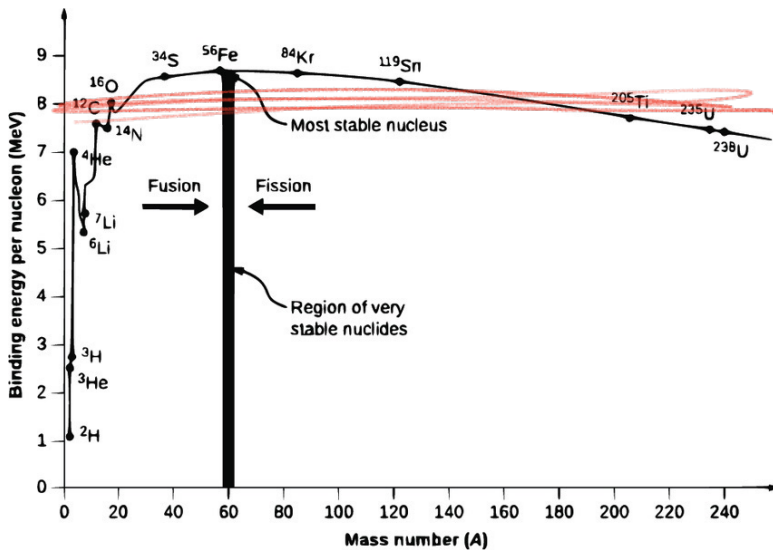
$$\langle E_c \rangle = \frac{\int_0^{P_F} \frac{P^2}{2m} dn}{\int_0^{P_F} dn} = (9 \text{ MeV}) \left[ \left( \frac{2Z}{A} \right)^{5/3} + \left( \frac{2(A-Z)}{A} \right)^{5/3} \right]$$

Come stimare  $B(Z,A)$  ?

1) tutti nucleoni interagiscono con tutti nucleoni:



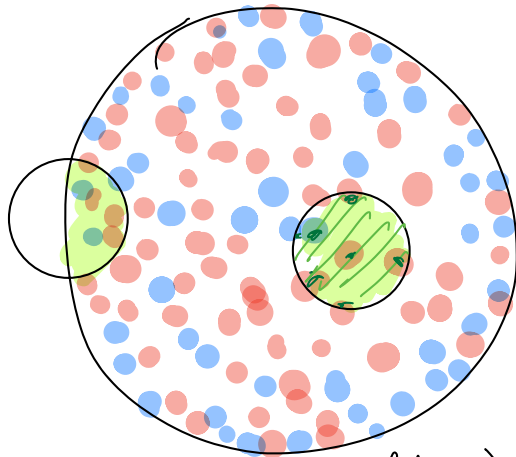
$$B(Z, A) \propto \frac{A(A-1)}{2} \text{ contributi.} \Rightarrow \frac{B(Z, A)}{A} \propto A$$



contraddetto dai dati:

$$\frac{B}{A} \approx \text{cost.} = 7. - 8 \text{ MeV}$$

2) Modello a goccia



nucleoni: interagiscono con tutti gli altri nucleoni  
 con  $r < r_{\text{int}}$

$V_{\text{int}}$ : entro il quale contengono contributi a  $B(Z, A)$

$$B(Z, A) = \sum_{\text{nucleoni}} \frac{A(A-1)}{2} \frac{V_{\text{int}}}{V_{\text{nucleare}}} \langle U \rangle$$

$\hookrightarrow$  in media di legame  
 $< 1$   $r_{\text{int}} < r_N$

$$V_{\text{nucleare}} = \frac{4\pi}{3} r_N^3 = \frac{4\pi}{3} r_0^3 A$$

$r_N = r_0 A^{1/3}$ : viene dalle misure sperimentali.

$$B(Z, A) \approx \frac{A^2}{A} \times (\text{cost}) \approx A$$

$$\Rightarrow \frac{B(Z, A)}{A} \approx \text{cost}$$

$B(Z, A) = a_V A$  : termine di Volume  
 $a_V$ : costante

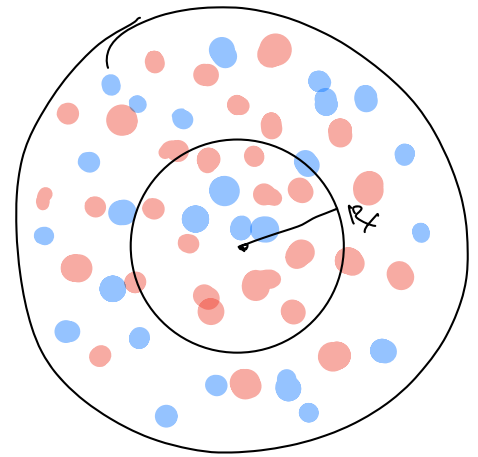
Termine di superficie

$$S_N \approx 4\pi r_N^2 = 4\pi r_0^2 A^{2/3}$$

$$B(Z, A) = a_V A - a_S A^{2/3}$$

Repulsione di Coulomb tra i protoni:

$$\rho(r) = \frac{Ze}{V_{\text{nuc.}}} = \frac{Ze}{\frac{4\pi}{3} r_0^3 A} = \frac{Ze}{\frac{4\pi}{3} R_N^3}$$



Per  $R < R_N$   $R_N$   $\hookrightarrow$  int. di Coulomb

$$E_{\text{Coul.}} = \int_0^{R_N} d^3r \rho(r) V(r)$$

$$V(r) = \frac{1}{4\pi} \frac{q(r)}{r}$$

$q(r) = \rho(r) \cdot V(r) = \rho \cdot \frac{4\pi}{3} r^3$   
 Volume di  $r$

$$E_{\text{Coul.}} = \int_0^{R_N} d^3r \underbrace{\rho}_{\frac{Ze}{\frac{4\pi}{3} R_N^3}} \underbrace{\frac{4\pi}{3} r^3}_{\text{Volume di } r} \underbrace{\frac{1}{r}}_{\text{Coulomb}} \underbrace{\frac{1}{4\pi}}_{\text{Coulomb}} \rho \propto \rho^2 \int_0^{R_N} r^4 dr \propto \rho^2 R_N^5$$

$$E_{\text{Coul.}} = \int_0^{R_N} d^3r \rho(r) V(r) \approx \rho^2 R_N^5 \approx \frac{Z^2}{R_N^6} R_N^5 \approx R_N^{-1} Z^2$$

$$E_{\text{Coul.}} \propto Z^2 A^{-1/3}$$

$$B(Z, A) = a_v A - a_s A^{2/3} - a_c Z^2 A^{-1/3}$$

Termine correzione dovuta a en. cinetica dei nucleoni

$$K_{tot} = A \langle \bar{K} \rangle = (20 \text{ MeV}) \times \left( A + \frac{5}{9} \frac{(A - 2Z)^2}{A} \right)$$

en. cinetica media fino a impulso di Fermi

$$B(Z, A) = a_v A - a_s A^{2/3} - a_c Z^2 A^{-1/3} - a_F \frac{(A - 2Z)^2}{A}$$

modello a goccia

Fit ai dati sperimentali:

$$a_v \approx 16 \text{ MeV}$$

$$a_s \approx 18 \text{ MeV}$$

$$a_c \approx 0.7 \text{ MeV}$$

$$a_F \approx 93 \text{ MeV}$$

La Formula di  
Bethe - Weizsäcker

$$M(Z, A) = m_p \cdot Z + m_n (A - Z) - B(Z, A)$$

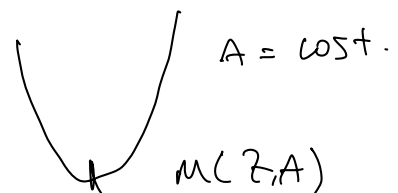
Caratteristiche principali

1)  $A = \text{cost}$  (nuclei isobari)  $\frac{Z}{A} \approx \frac{1}{2}$

$$B(Z, A) \approx \alpha + \beta Z + \gamma Z^2 \quad \text{funzione parabolica di } Z$$

$M(Z, A) \approx$  parabola con un minimo

$\Rightarrow$  esiste  $Z_{min} \text{ @ } A \text{ cost}$



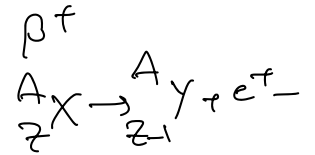
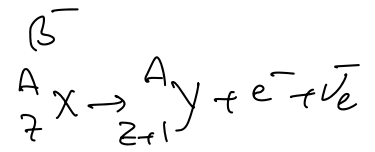
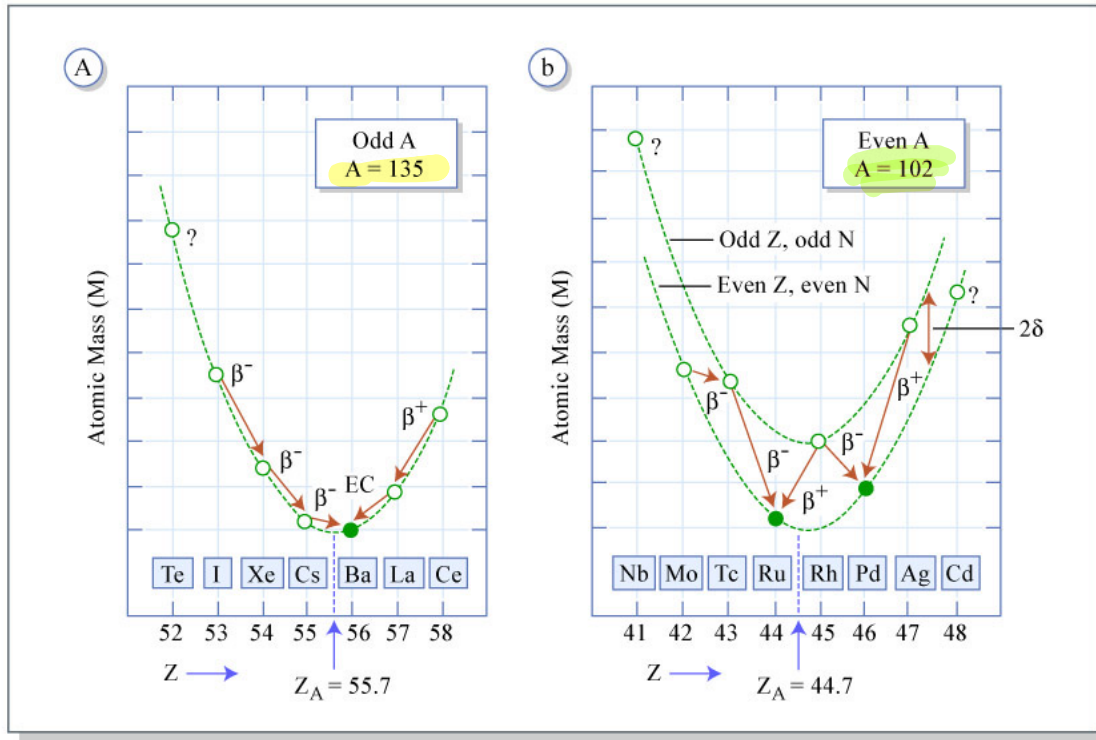
2) sperimentalmente differenze per nucle: pari/dispari:

Z	A - Z	A	$\Delta B$
pari	pari	pari	$+\delta$
		dispari	$\phi$
dispari	dispari	pari	$-\delta$

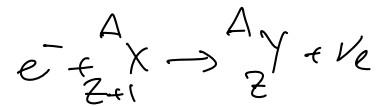
$$\delta = a_\delta A^{-1/2}$$

$$a_\delta \approx 11 \text{ MeV}$$

$$B(Z, A) = a_v A - a_s A^{2/3} - a_c \frac{Z^2}{A^{1/3}} - a_f \frac{(A - 2Z)^2}{A} - \begin{cases} +\delta \\ 0 \\ -\delta \end{cases}$$



EC: electronic capture



$$m(Z, A) = Z \cdot m_p + (A - Z) m_n - B(Z, A) + \begin{cases} +\delta \\ 0 \\ -\delta \end{cases}$$

$$\left. \frac{\partial m}{\partial Z} \right|_{A=\text{const}} = 0 \Rightarrow Z_{\min} = \frac{A}{2} \cdot \frac{1}{1 + 0.0076 A^{2/3}}$$

$$Z \leq \frac{A}{2}$$

